

Utilidad de la ecografía *Doppler* color en el seguimiento de la angioplastia carotídea

Doppler in Carotid Stent Follow-up

Alberto M. Surur¹ Germán Crespo¹ Jorge A. Galindez¹ Lucas Pessini¹ Marco A. Marangoni¹
Hugo F. Londero²

¹Servicio de Diagnóstico por Imágenes, Sanatorio Allende, Córdoba, Argentina

²Servicio de Hemodinamia e Intervenciones por Cateterismo, Sanatorio Allende, Córdoba, Argentina

Address for correspondence Alberto M. Surur, Servicio de Diagnóstico por Imágenes, Sanatorio Allende, Córdoba, Argentina (e-mail: asurur@hotmail.com).

Rev Argent Radiol 2019;83:34–41.

Resumen

Los ataques cerebrovasculares (ACV), representan un problema mayor en salud y son una causa importante de discapacidad en todo el mundo. La estenosis u oclusión carotídea aterosclerótica causa alrededor del 20% de las isquemias cerebrovasculares.¹ Los ACV en los enfermos con estenosis carotídea se producen, en la mayoría de los casos, por la aparición de embolismos distales de trombo formado en la placa, oclusión trombótica aguda debido a rotura de la placa, o bien secundarios a las alteraciones hemodinámicas atribuibles a la estenosis, la cual produce disminución de la perfusión cerebral por el hipoflujo, en casos de estenosis críticas o suboclusivas. El tratamiento de la patología carotídea ha evolucionado de forma considerable a lo largo de los últimos años. Existen dos tratamientos invasivos para la estenosis carotídea significativa, que consisten en el abordaje quirúrgico con endarterectomía o tratamiento por vía percutánea con angioplastia y colocación de *stent*. En nuestra institución se realizaron, en el periodo comprendido entre marzo de 2013 y junio de 2017, aproximadamente 100 angioplastias carotídeas con colocación de *stent*. Todas fueron valoradas con ecografía *Doppler* color (EDC) al mes, a los seis meses y al año (en casos no complicados). En esta revisión bibliográfica es nuestra intención desarrollar las indicaciones, aplicaciones, hallazgos normales y patológicos en el examen de EDC en la evaluación de un paciente con *stent* carotídeo.

Palabras Clave

- ▶ ataques cerebrovasculares
- ▶ estenosis carotídea
- ▶ ecografía doppler color
- ▶ angioplastia
- ▶ *stent*

Abstract

Acute stroke represents a major problem in health and is a major cause of disability worldwide. Atherosclerotic carotid stenosis or occlusion causes around 20% of cerebrovascular ischemias.¹ Stroke in patients with carotid stenosis occurs, in most cases, due to embolisms of thrombus formed in the plaque, acute thrombotic occlusion due to rupture of the plaque, or secondary to hemodynamic alterations, attributable to stenosis, which produces decreased cerebral perfusion by low flow, in cases of critical or sub occlusive stenosis. The treatment of carotid disease has evolved considerably over recent years. There are two invasive treatments for significant carotid stenosis, which

received
November 8, 2017
accepted
May 13, 2018
published online
July 30, 2018

DOI <https://doi.org/10.1055/s-0038-1660524>.
ISSN 1853-5844.

Copyright © 2019, Sociedad Argentina de Radiología. Publicado por Thieme Revinter Publicações Ltda., Rio de Janeiro, Brazil. Todos los derechos reservados.

License terms



Keywords

- ▶ stroke
- ▶ carotid stenosis
- ▶ doppler ultrasound
- ▶ angioplasty
- ▶ stent

consist of the surgical approach with endarterectomy or percutaneous treatment with angioplasty and stenting. In our institution, in the period between March 2013 and June 2017, ~100 carotid angioplasties with stent placement were performed. All were assessed with color Doppler ultrasound (DUS) at month, six months and one year (in non complicated cases). In this literature review it is our intention to develop the indications, applications, normal and pathological findings in the DUS examination in the evaluation of a patient with carotid stent.

Desarrollo

Para el estudio de las arterias del cuello existen métodos invasivos y no invasivos. Entre los no invasivos contamos con ecografía *Doppler* color (EDC), la angiotomografía computada (Angio-TC) y la angiografía por resonancia magnética (Angio-RM). Como método invasivo, la angiografía por sustracción digital (ASD) es el estándar de referencia para el diagnóstico de enfermedad carotídea. El EDC es el método de primera intención. Brinda fundamentalmente información morfológica y hemodinámica. El mismo clasifica las estenosis carotídeas en distintas categorías: normal, menor al 50%, entre 50 y 69%, mayor al 70%, estenosis crítica o suboclusiva ($\geq 90\%$) y oclusión, de acuerdo a hallazgos morfológicos y hemodinámicos (► **Tabla 1**).¹⁻³

La Angio-TC y la Angio-RM son métodos complementarios, no invasivos, para estudiar la enfermedad carotídea. Además, aportan información anatómica de la porción intracraneal e intratorácica de los vasos del cuello. Ambas se basan en los criterios NASCET para la medición del grado de estenosis y son métodos de elección y complementarios en determinados pacientes (► **Figs. 1 y 2**).⁴ Esos criterios consisten en correlacionar el diámetro de la arteria carótida interna (ACI), en su sitio de máxima estenosis, con el de su segmento distal normal, donde ambas paredes se vuelven paralelas.

El tratamiento para la estenosis carotídea de origen aterosclerótico consiste en la resolución por vía quirúrgica, ya sea endarterectomía o angioplastia, con colocación de *stent* en pacientes con estenosis significativa ($> 70\%$), tanto asintomáticos como sintomáticos.^{4,5} Ambos métodos demostraron mejores resultados con respecto al tratamiento médico para este grupo de pacientes.^{4,6} En caso de estenosis no

significativas ($\leq 50\%$) hay amplio acuerdo en la efectividad del tratamiento médico y para estenosis moderadas (50–69%), está indicado el tratamiento invasivo en caso de placas ateroscleróticas complicadas o en pacientes sintomáticos donde el tratamiento médico ha fracasado.⁷

Varios estudios multicéntricos aleatorizados no encontraron diferencias significativas entre pacientes sometidos a endarterectomía y aquellos a los que se trató con *stent*, tanto en riesgo de *stroke* periprocedimiento, infarto de miocardio, muerte e ictus homolateral.⁸ Nuestra institución cuenta con amplia experiencia en angioplastia con colocación de *stent* para tratamiento de estenosis carotídea por sobre la endarterectomía. El procedimiento angiográfico consiste en canular la arteria carótida, colocar sistemas de protección cerebral contra la embolización, seguido de provocar la dilatación y la colocación de *stent*. Los *stents* utilizados en angioplastia carotídea son de tres tipos: *stents* tubulares expandibles con balón, autoexpandibles de nitinol y tipo malla de acero inoxidable (Wallstent®). Ese último ofrece una buena cobertura de la placa y distribuye mejor la fuerza radial en la superficie de la lesión evitando el prolapso del material aterosclerótico a través de la malla (► **Fig. 3**).⁹

Para el seguimiento del *stent*, el EDC es el método de primera intención, por inocuidad, accesibilidad y rapidez. También es útil para el seguimiento, ya que permite detectar la mayoría de las complicaciones siendo el método de elección en esos pacientes. Realizado por exploradores expertos y con los equipos adecuados, el EDC presenta en relación a la ASD sensibilidades superiores al 95% para la detección o exclusión de estenosis significativa en la ACI con valores predictivos negativos por encima también del 95%.¹⁰ Para una adecuada realización se debe seguir un protocolo

Tabla 1 Criterios diagnósticos de estenosis carotídea

Grado de estenosis	Vps ACI (cm/seg)	Estimación de la placa (%)	Ratio Vps ACI/ACC	Vfd ACI (cm/seg)
Normal	< 125	Sin placa	< 2	< 40
$\leq 50\%$	< 125	Placa < 50%	< 2	< 40
50–69%	125–230	Placa > 50%	2 a 4	40 a 100
$\geq 70\%$	> 230	Placa > 50%	> 4	> 100
$\geq 90\%$, Crítica, suboclusiva	Alta, baja, o no detectable	Placa con luz visible	Variable	Variable
Oclusión	No detectable	Luz no detectable	Ausente	Ausente

Abreviaturas: ACC, arteria carótida común; ACI, arteria carótida interna; Vfd, velocidad fin de diástole; Vps, Velocidad pico sistólico.

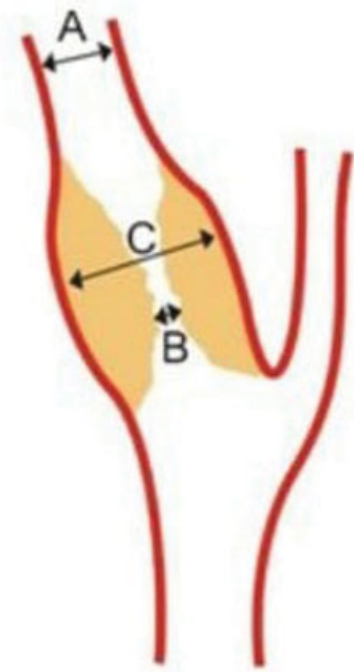


Fig. 1 Método de medición del grado de estenosis, para angiotomografía computada (Angio-TC) y angiografía por resonancia magnética (Angio-RM), según los criterios NASCET. (A) Sector de arteria de calibre normal distal a la estenosis. (B) Sitio de máxima estenosis. (C) Diámetro total de la arteria en el sector de la estenosis.

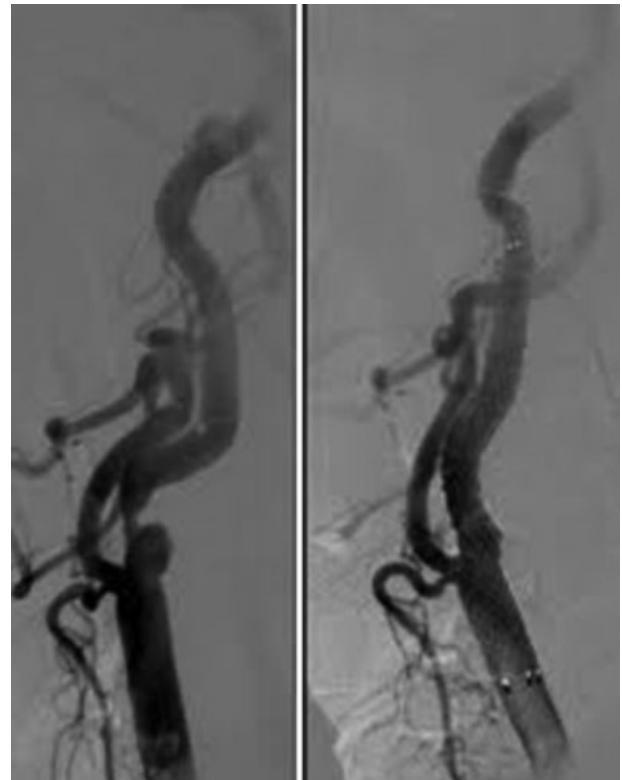


Fig. 3 Angiografía digital donde se observa estenosis significativa de arteria carótida interna (A) e imagen posterior al implante del stent (B).

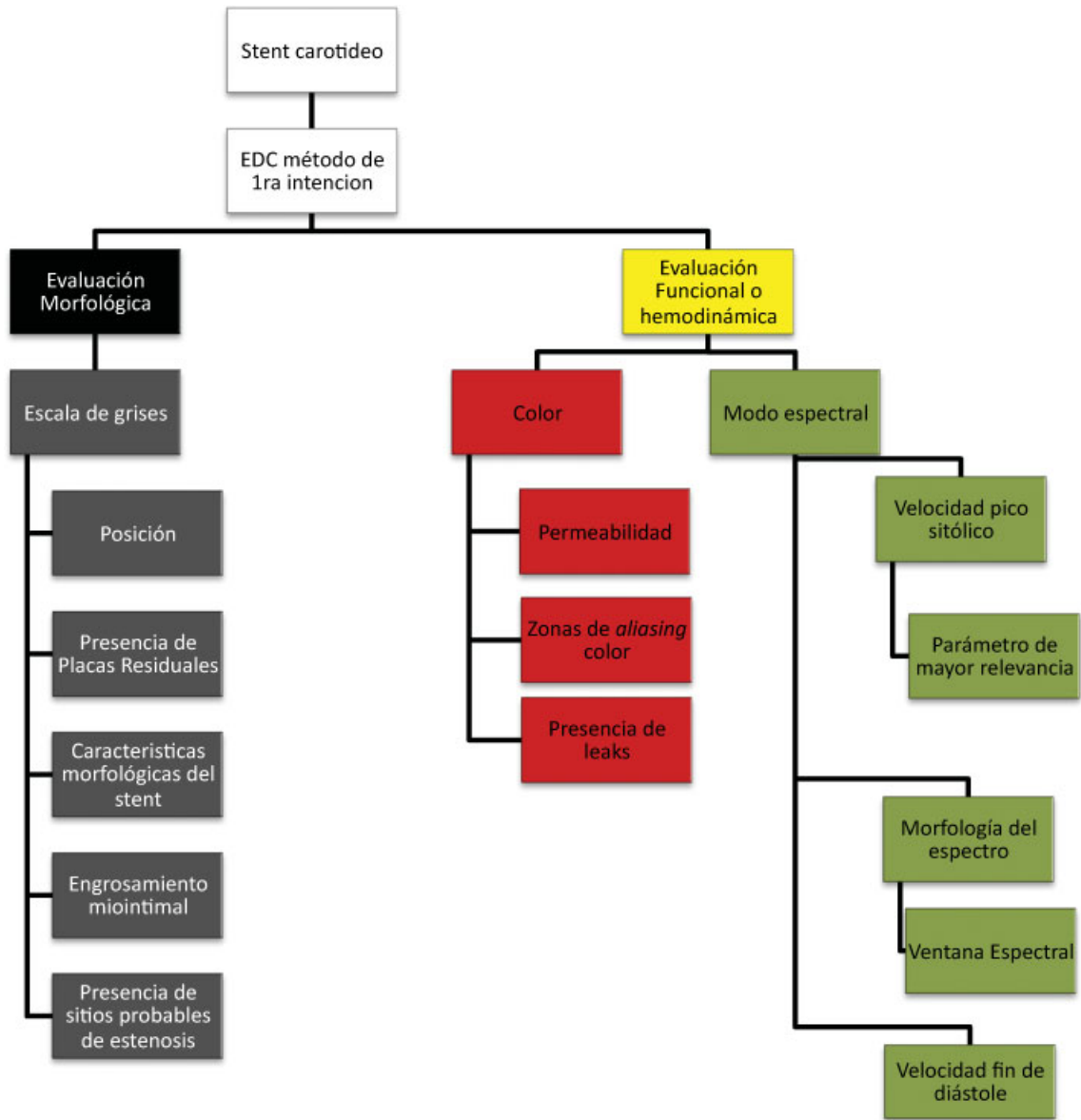
determinado, evaluando el *stent* en escala de grises, en modo color y *Doppler* pulsado (► **Esquema 1**).

En modo B se obtiene “información morfológica.” Ecográficamente el *stent* es hiperecogénico y puede estar posicionado desde la arteria carótida común en su porción distal o en el nacimiento inmediato de la ACI, con longitudes variables. Es importante registrar la morfología correcta de

las paredes de las arterias nativas adyacentes al *stent* y ver la existencia de placas subyacentes en la zona de estenosis, las cuales pueden provocar una deformidad de la pared del *stent* y, además, la existencia de placas no cubiertas por el *stent*. Se debe observar la integridad del mismo y evaluar posibles rupturas (► **Fig. 4**).



Fig. 2 Angio-TC y Angio-RM de vasos de cuello (A y B).



Esquema 1 Pasos a seguir a la hora de evaluar un stent con EDC.



Fig. 4 Ecografía en modo B donde se observa stent con buena posición y aposición a la pared vascular, sin anomalías en su calibre y luz vascular residual (Flecha).



Fig. 5 Ecografía en escala de grises donde se observa la presencia de hiperplasia neointimal (estrella) y placa subyacente al *stent* con leve deformidad de la pared posterior (flecha).

En caso de estenosis a causa de disección, el tratamiento puede requerir la colocación de dos *stent* y, por ende, es posible la existencia de desacoples.

En los implantes tipo Wallstent®, los más utilizados, cuentan con ciertas desventajas. Una de ellas es la falta de flexibilidad longitudinal, por lo que una vez expandido rectifica la arteria y puede provocar la formación de una angulación de la misma en el extremo distal del *stent*. Otra desventaja podría ser una mala adaptación a la silueta de la arteria que provoca la formación de espacios muertos entre el *stent* y la pared arterial por mala aposición, aunque es un hallazgo poco frecuente.⁹ Todos esos hallazgos deben ser observados y descritos con el EDC.

Otro parámetro a evaluar es la existencia de proliferación neointimal hacia la luz del *stent*, la cual tiende a aumentar de grosor en los primeros 3, 6 y 12 meses, para luego estabilizarse hacia los 24 meses o evolucionar y terminar provocando una reestenosis.¹¹ Se considera que una respuesta biológica exagerada ante la injuria vascular es responsable de ello. Dicha hiperplasia se observa en escala de grises como una línea isoecogénica o hipocócica, la cual prolifera entre la superficie interna del *stent* y el lumen

(►Fig. 5).¹² Sitios probables de reducción de la luz vascular son observados en escala de grises.

En modo color se debe documentar la permeabilidad del *stent*, la superficie del mismo y de la pared adyacente. Es preciso objetivar la existencia de zonas de *aliasing* color. Eso sucede debido a una pérdida de la laminaridad del flujo o bien a la existencia de zonas de turbulencia como consecuencia de una reducción de la luz vascular y, por lo tanto, es un hallazgo de importancia, ya que sería el sitio de interés para evaluar con el *Doppler* espectral en busca de estenosis (►Fig. 6). Frecuentemente, existen estenosis residuales de las arterias carótidas externas, secundarias al implante de la prótesis, sin implicancias patológicas relevantes.

Por último, debemos también evaluar la presencia de *leaks*, aunque de presentación poco frecuente con los *stents* tipo Wallstent®. Eso generalmente sucede debido a una mala aposición del *stent*, quedando un pasaje de flujo entre la pared vascular y el *stent*.

Uno de los mayores temores, luego de la angioplastia, es la reestenosis, así como la oclusión del *stent*. Algunos reportes mencionan una baja tasa de reestenosis luego de la angioplastia.¹³ Lal y col., demuestran, en un estudio

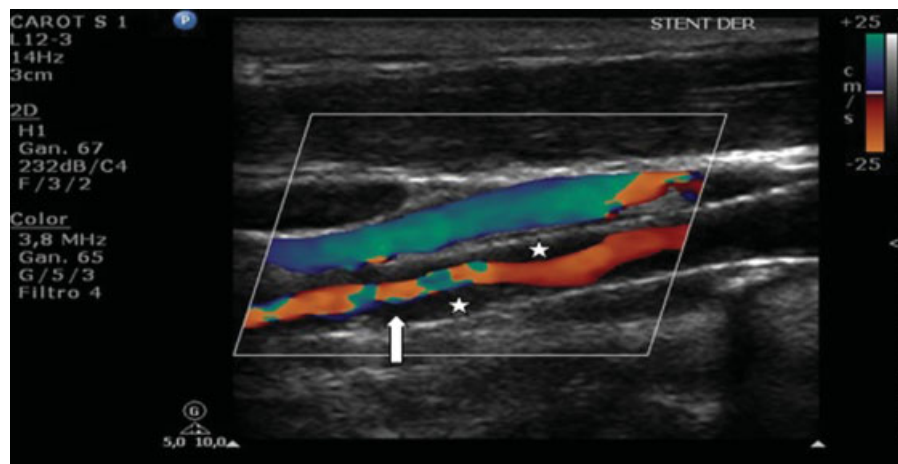


Fig. 6 Ecografía *Doppler* color (EDC) con ocupación de un tejido hipocócico que prolifera hacia la luz (hiperplasia neointimal), con reducción de la luz vascular (estrella). El mapa color muestra el lumen disminuido con una zona de *aliasing* color (flecha).

randomizado, estenosis significativa mayor al 70% u oclusión solo en 58 pacientes sobre un total de 1.086, todos en seguimiento con ECD, en controles sucesivos a los 1, 6, 12, 24 y 48 meses.¹⁴

Al igual que las estenosis de arterias nativas, en los *stent* se tienen en cuenta los mismos parámetros técnicos. Consiste en medir la reducción del diámetro de la luz, a nivel del diámetro menor, con respecto al diámetro mayor dentro del *stent* o de la arteria nativa pos *stent*, y realizar estudio en modo espectral obteniendo el valor de velocidad de fin de diástole (VFD) y velocidad pico sistólico (VPS), siendo éste último el parámetro de mayor relevancia. Para ello se posiciona el transductor sobre el eje longitudinal del vaso, con un ángulo *Doppler* de 60°, recorriendo con el volumen de muestra toda la extensión de la arteria, buscando la zona con mayor VPS y así obtener registros reproducibles.¹⁵

En el caso del *stent*, el estudio en modo espectral debe ser realizado pre *stent*, intra *stent* en su sector proximal, medio y distal y posterior al mismo. Es necesario tomar en cuenta las características morfológicas de la onda. Debido a la laminaridad de los glóbulos rojos en el vaso nativo la onda del *Doppler* se agrupa en la región superior del espectro, dejando por debajo un área vacía, la cual se denomina ventana espectral (► Fig. 7). El flujo en el interior del *stent*, en algunos casos, puede perder esa uniformidad por lo que implica una pérdida de la ventana espectral y no significar un hallazgo patológico. Además se puede objetivar ausencia de la ventana espectral en casos de estenosis, a causa del flujo turbulento.

Cuando existen zonas sospechosas de reestenosis el estudio en modo espectral debe obtener registros en el sitio previo a la estenosis, dentro de la misma correspondiente con la zona de máximo *aliasing*, y posterior a ella, evaluando las distintas morfologías de onda y obteniendo la VPS (► Fig. 8).

En los pacientes con *stent*, los criterios de VPS deben ser corregidos. Algunos reportes indican que luego de la angioplastia carotídea se altera la *compliance* del vaso nativo por lo cual varían las velocidades. Hay acuerdo en que las mismas se ven aumentadas, lo cual tiende a confundir y a sobreestimar la estenosis. En el análisis de Ringer y col., se

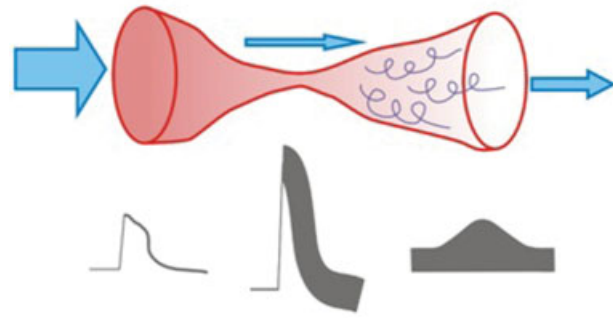


Fig. 8 Representación esquemática donde se observan las diferentes morfologías de onda. En el sector previo a la estenosis, donde el flujo es laminar, se obtienen morfologías de onda normales con conservación de la ventana espectral (flecha). En el sitio de la estenosis la onda adquiere alta velocidad y pérdida de la ventana espectral (estrella). Finalmente posterior a la estenosis se observa un flujo de tipo turbulento, con baja velocidad y disminución del tiempo de aceleración (cabeza de flecha).

evaluaron los pacientes siete días posterior a la colocación de *stent*, usando el método estándar de VPS, encontrando sobre un total de 114 pacientes, 40 con velocidades elevadas, con criterios de reestenosis, que posteriormente en control angiográfico no tuvieron evidencia de estenosis mayor al 50%.¹⁶

Múltiples estudios establecieron criterios de VPS óptimos a la hora de evaluar posibles reestenosis. AbuRahma y col., establecen como punto de corte de VPS en, > 154 cm/seg > 30%; > 224 cm/seg > 50%; > 325 cm/seg > 80%.¹⁷

Stanziale y col. reportan resultados similares, determinando como estenosis mayor al 50% un punto de corte de VPS de 230 cm/seg y mayor al 70% un pico sistólico de 350 cm/seg, con una especificidad mayor al 95% para ambos.¹⁸ Esa última es la escala que utilizamos en nuestra institución (► Fig. 9).

Zhou W y col., en cambio, definen como criterio fiable para el diagnóstico de reestenosis superiores al 70% un pico sistólico de 300 cm/seg.¹⁹ En caso de oclusión del *stent* se debe documentar su existencia. Para ello empleamos los

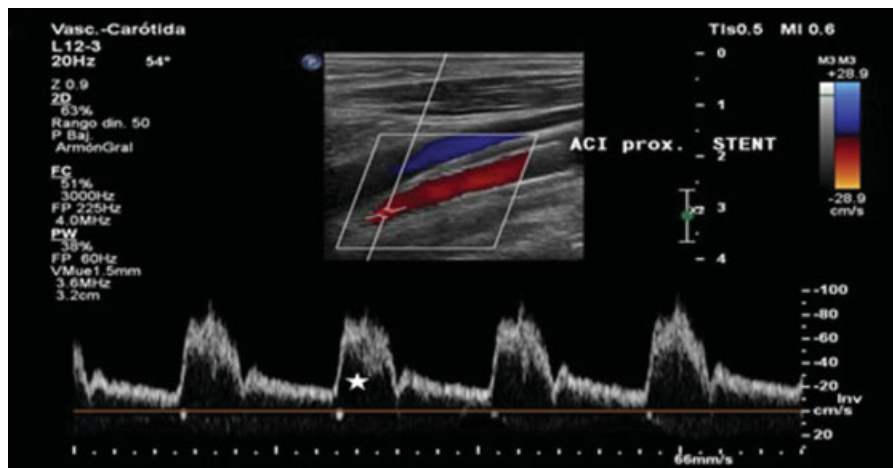


Fig. 7 EDC y espectral en la porción media de un *stent* con ondas de morfología y velocidad normal (estrella, ventana espectral).

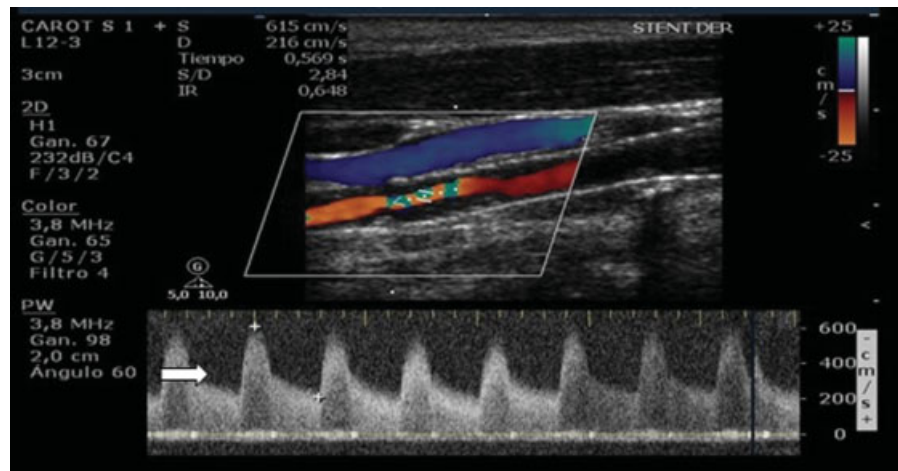


Fig. 9 El EDC detectó una zona de *aliasing* y en el modo espectral se observa flujo turbulento, tipo "jet," con pérdida de la ventana espectral y se registró VPS y VFD (615 cm/seg y 216 cm/seg), comportándose como una estenosis significativa >70% según Stanziale y col.

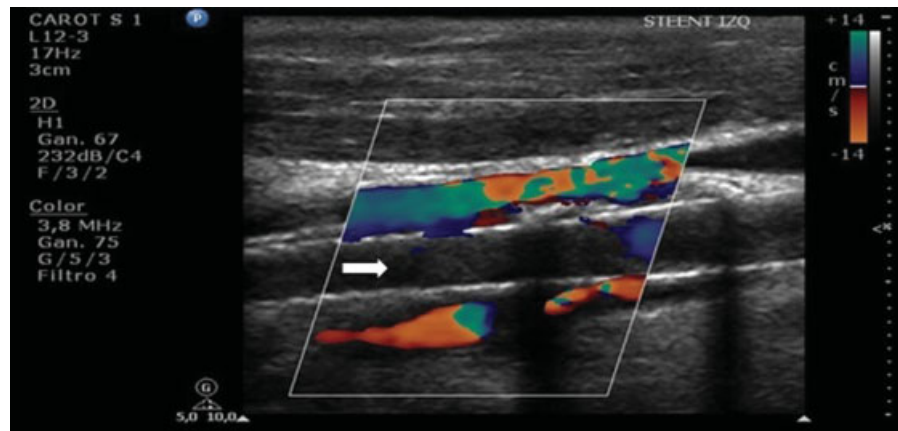


Fig. 10 EDC donde se observa ausencia de flujo en el mapa color dentro del *stent* (flecha).

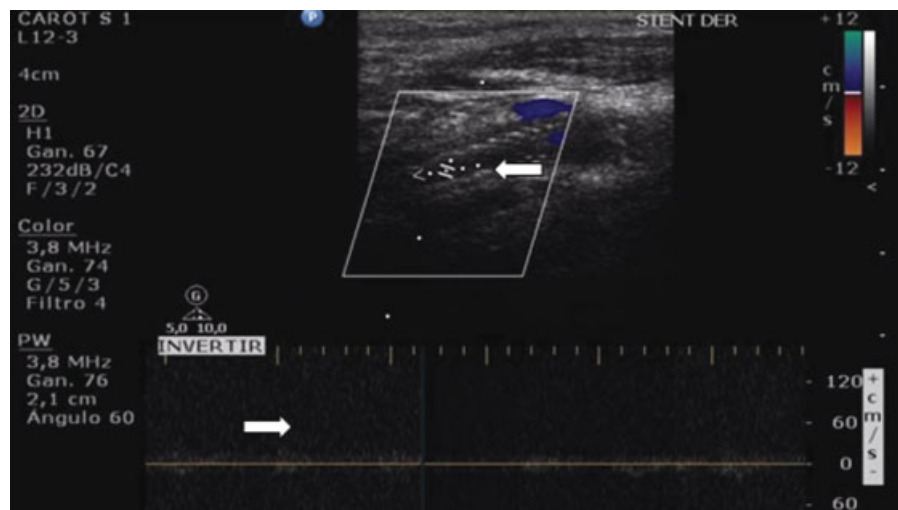


Fig. 11 EDC y espectral donde se observa ausencia de flujo tanto en el mapa color como en el *Doppler* espectral (flechas).

mismos criterios, realizando registros en modo B, *Doppler* color y espectral. En las obstrucciones agudas se observa la presencia de un trombo hipocóico, que ocupa la totalidad de la luz vascular, y de aspecto globuloso. Hacia la fase crónica

aumenta la ecogenicidad del trombo y disminuye el calibre del vaso. Por último, la oclusión se va a manifestar con ausencia de flujo tanto al examen *Doppler* color como espectral (►Figs. 10 y 11).

Conclusión

La ecografía *Doppler* color (EDC) constituye uno de los métodos de elección para la evaluación de los *stent* carotídeos. Por ese motivo, resulta importante esta revisión, la cual demuestra sus hallazgos normales y patológicos, logrando una adecuada valoración de pacientes con *stent* carotídeo. Así podrán obtenerse los mejores resultados del método y disminuir sus errores.

Responsabilidades Éticas

Protección de personas y animales. Los autores declaran que para esta investigación no se han realizado experimentos en seres humanos ni en animales.

Confidencialidad de los datos. Los autores declaran que han seguido los protocolos de su centro de trabajo sobre la publicación de datos de pacientes.

Derecho a la privacidad y consentimiento informado. Los autores declaran que en este artículo no aparecen datos de pacientes.

Conflicto de Intereses

Los autores declaran no tener ningún conflicto de intereses, con excepción del Dr. Surur que declara como posible conflicto de interés ser Editor Asociado de la RAR.

Bibliografía

- Liapis CD, Bell PR, Mikhailidis D, et al; ESVS Guidelines Collaborators. ESVS guidelines. Invasive treatment for carotid stenosis: indications, techniques. *Eur J Vasc Endovasc Surg* 2009;37(4, Suppl):1-19
- Surur AM, Buccolini TV, Londero HF, Marangoni MA, Allende NJ. Valoración no invasiva de la estenosis carotídea de causa aterosclerótica: correlación entre la ecografía Doppler color y la angiografía por resonancia magnética con gadolinio. *Rev Argent Radiol* 2013;77(04):267-274
- Grant EG, Benson CB, Moneta GL, et al. Carotid artery stenosis: gray-scale and Doppler US diagnosis—Society of Radiologists in Ultrasound Consensus Conference. *Radiology* 2003;229(02):340-346
- Ferguson GG, Eliasziw M, Barr HW, et al. The North American Symptomatic Carotid Endarterectomy Trial : surgical results in 1415 patients. *Stroke* 1999;30(09):1751-1758
- MRC European Carotid Surgery Trial: interim results for symptomatic patients with severe (70-99%) or with mild (0-29%) carotid stenosis. European Carotid Surgery Trialists' Collaborative Group. *Lancet* 1991;337(8752):1235-1243
- Sociedad Argentina de Cardiología, Sociedad N Argentina. Consenso de estenosis carotídea. *Rev Argent Cardiol* 2006;74:160-174
- Halliday A, Harrison M, Hayter E, et al; Asymptomatic Carotid Surgery Trial (ACST) Collaborative Group. 10-year stroke prevention after successful carotid endarterectomy for asymptomatic stenosis (ACST-1): a multicentre randomised trial. *Lancet* 2010;376(9746):1074-1084
- Brott TG, Howard G, Roubin GS, et al; CREST Investigators. Long-Term Results of Stenting versus Endarterectomy for Carotid-Artery Stenosis. *N Engl J Med* 2016;374(11):1021-1031
- Londero HF, Martínez Riera, Paoletti FE, Surur AM, Martín JJ. Intervención percutánea carotídea: aspectos técnicos y resultados. En: Sousa A, Abizaid A, Martínez Ríos M, Berrocal D, Sousa JE, eds. *Intervenciones Cardiovasculares – SolaCI*. Bogotá: Distribuna Editorial; 2015:115-25
- Fortuño JR, Perendreu J, Falco J, Canovas D, Branera J. Estenosis carotídea: cómo se diagnostica y se trata adecuadamente. *Radiología* 2006;48(03):119-136
- Willfort-Ehringer A, Ahmadi R, Gschwandtner ME, et al. Healing of carotid stents: a prospective duplex ultrasound study. *J Endovasc Ther* 2003;10(03):636-642
- Willfort-Ehringer A, Ahmadi R, Gruber D, et al. Arterial remodeling and hemodynamics in carotid stents: a prospective duplex ultrasound study over 2 years. *J Vasc Surg* 2004;39(04):728-734
- Chung J, Valentine W, Sharath SE, et al. Percutaneous intervention for carotid in-stent restenosis does not improve outcomes compared with nonoperative management. *J Vasc Surg* 2016;64(05):1286-1294.e1
- Lal BK, Beach KW, Roubin GS, et al; CREST Investigators. Restenosis after carotid artery stenting and endarterectomy: a secondary analysis of CREST, a randomised controlled trial. *Lancet Neurol* 2012;11(09):755-763
- Robbin ML, Lockhart ME, Weber TM, et al. Carotid artery stents: early and intermediate follow-up with Doppler US. *Radiology* 1997;205(03):749-756
- Ringer AJ, German JW, Guterman LR, Hopkins LN. Follow-up of stented carotid arteries by Doppler ultrasound. *Neurosurgery* 2002;51(03):639-643, discussion 643
- AbuRahma AF, Abu-Halimah S, Bensenhaver J, et al. Optimal carotid duplex velocity criteria for defining the severity of carotid in-stent restenosis. *J Vasc Surg* 2008;48(03):589-594
- Stanziale SF, Wholey MH, Boules TN, Selzer F, Makaroun MS. Determining in-stent stenosis of carotid arteries by duplex ultrasound criteria. *J Endovasc Ther* 2005;12(03):346-353
- Zhou W, Felkai DD, Evans M, et al. Ultrasound criteria for severe in-stent restenosis following carotid artery stenting. *J Vasc Surg* 2008;47(01):74-80